



LB 9001

Detalle de pelitas y samitas del C.E.G. del Precámbrico Superior (1). Con claras  $S_0$  y  $S_1$  (subverticales).



LB 9002  
Detalle de ripples en  
metagrauvacas del C.E.G.  
(1)



LB 9003

Detalle de metagrauvacas  
del C.E.G. del Precámbri-  
co Sup. (1).



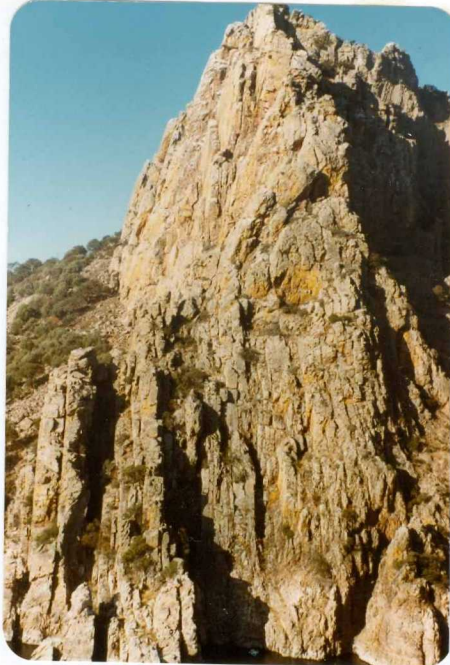
LB9004

Vista parcial de niveles rojizos del C.E.G. (1) del Pre  
cámbrico Sup. Al fondo cuarcita armoricana (2) del Or  
dovícico Inf.



LB 9005

Detalle de los niveles rojizos de la foto anterior.



LB 9006

Panorámica de cuarcita  
armoricana subverticale  
del flanco Sur del Sincli-  
nal de Cañaveral, en el Sal-  
to del Gitano



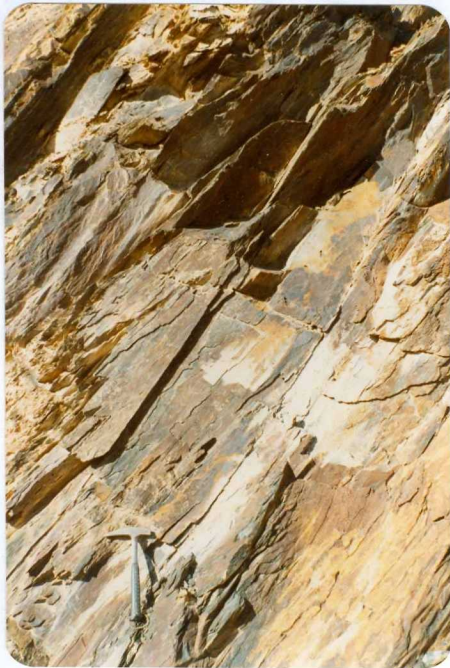
LB 9007

Vista parcial de pizarras y cuarcitas del techo de la cuarcita armoricana (2), del Ordovicio Inferior.



LB 9008

Vista parcial de pizarras del Ordovício Medio (3).



LB 9009

Detalle de las pizarras de la foto anterior. Obsérvese - el menor buzamiento de la  $S_1$ .



LB 9010

Panorámica de una zona del Sinclinal de Cañaveral:

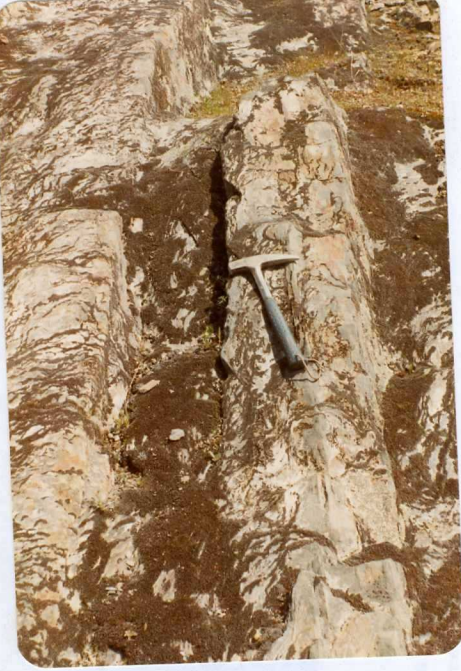
- Cuarcita armoricana (1). Ordovício Inf.

- Pizarras con intercalaciones de cuarcitas (2). Ordovício Med.



LB 9011

Vista parcial de -  
cuarcitas con algún  
nivel pizarroso (4)  
del flanco Sur in-  
vertido del Sincli-  
nal de Cañaveral.



LB 9012

Detalle de pizarras del Ordovício Superior (5)



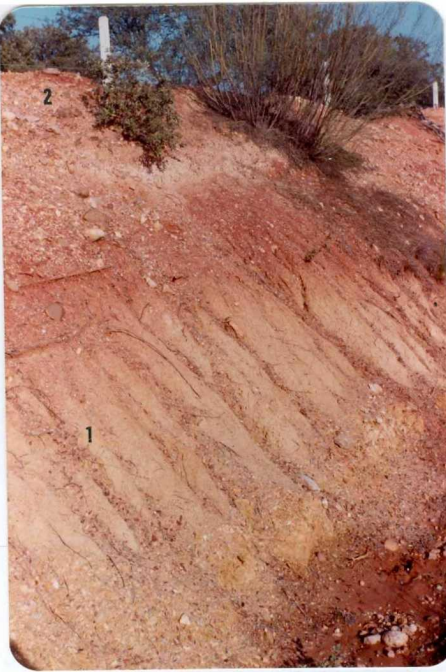
LB 9013

Panorámica de resaltes cuacíticos del Ordovício Medio (1). En primer plano, restos de terrazas sobre materiales detríticos de la Cuenca del Tietar.



LB 9014

Detalle de las cuarcitas del Silúrico Inferior (6).



LB 9015

Vista parcial de los depositos arenosos de la Cuenca de Talaván - Torrejón - el Rubio (1). Sobre ellos materiales tipo "raña" (2).



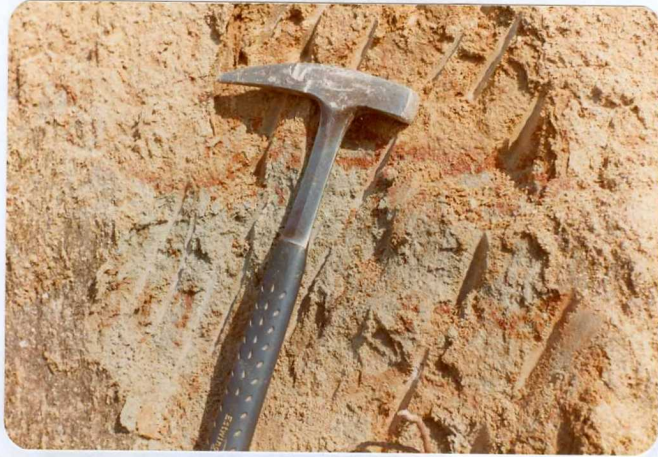
LB 9016

Detalle de arcillas arenosas de la foto anterior.



LB 9017

Detalle de sedimentos tipo "raña" plio-cuaternarios (11)



LB 9018

Detalle de arcosas de la Cuenca del Río Tietar (10)



LB 9019

Panorámica de los depósitos de glacis asociados a los relieves paleozoicos en la Sierra de las Corchuelas.

- Cuarcita (1). Ordovícico Inf.
- Coluvión (2). Cuaternario
- Superficie de glacis (3). Cuaternario
- Detalle de cantos, de la superficie de glacis



LB 9020

Vista parcial de los depósitos de terraza existentes en  
el interior del Sinclinal de Cañaveral



LB 9021

Panorámica del "Salto del Gitano", en las cuarcitas del Ordovícico Inf. En primer plano superficie de terraza (19) - del Arroyo de la Vid.



LB 9022

Detalle de cantos cuarcíticos de los depósitos de coluvión (24)



LB 9023

Cantera abandonada de metagrauvacas del C.E.G. (1).